

(19) (KR)
 (12) (B1)

(51) 。 Int. Cl. ⁶	(45)	2001 07 12
G03F 7/023	(11)	10 - 0278257
G03F 7/004	(24)	2000 10 18

(21)	10 - 1997 - 0066939	(65)	1998 - 0063926
(22)	1997 12 09	(43)	1998 10 07

(30)	08/763,031	1996 12 10	(US)
	08/910,188	1997 08 13	(US)

(73)	60606 - 1596	100
(72)	, , , , 8734	

,	,	,	17424
---	---	---	-------

(74)

:(54)

가 (,)
 가 , UV

(landless)	,	,	,	,	,	,	,
가	,	,	,	,	,	,	,
가	,	,	,	,	,	,	,
가	,	,	,	,	,	,	,
가	,	,	,	,	,	,	,
3,469,982	,	,	,	,	,	,	가
4,193,797	,	,	,	,	,	,	가
2	,	,	,	,	,	,	가
2	,	,	,	,	,	,	가
가	,	,	,	,	,	,	가
4,247,616 (3M)	,	,	,	,	,	,	가
2	,	,	,	,	,	,	가
'616	,	,	,	,	,	,	가
2	,	,	,	,	,	,	가
1	,	,	,	,	,	,	가
0 -	,	,	,	,	,	,	가
1	,	,	,	,	,	,	가
2	,	,	,	,	,	,	가

가

1. , ,
 2. (open), ,

3. _____ ,

4. 가

$$5. \quad \{ \quad , \quad \},$$

(artwork tenting)

가 . , 가

, 가

가

가 .

- UV

- 갑 갑

1

가

가

가

,

,

,

,

,

,

,

,

,

,

,

,

,

,

,

,

1:1

,

(resist foot)

가

)가

(

가

(迷光)

,

()

,

),

가 가

,

(< 5%)

,

,

,

가

,

,

,

,

,

,

,

(PAG) 가
 , PAG 가
 , PAG 가
 , MF \sim^6 VIa (3,915,70
 ,) 가 , 6 -
 6 -
 - 2 - p - p -
 5,308,744 PAG 2,1,5 -
 (, 215DNQTHB) 1 2
 p - 215 DNQ 가
 5 % 40 % 5 % 20 % .

가 UV 가 1가
 가 2

²
 $R^1_m R^2_n A$

, R^1 C_2 C_6 , R^2 C_1 C_6 , A, n 0 2.5
 , m , m+n 0.05 .

; 2

/ , , 2 m n 가 0.05

가 , 가

2 가

1

1	,			100	2,000
)		20	200	(
	,				100
	,			2	25
60	110	가	.		

2	,			50	1,000	가
	,					
100	2	120	,	40	120	가
,		5%	15%		가	.
						,

2 가

1.0 5.0

, 가 2 3 , 가 , ,

((, M.S.	,)	0.2	5.0		, 1.0	4.0		(
			,			M.S.	0.02			, 0.05	
						M.S.	0.5	5.0			
									, 1.0	4.0	

M.S. 0.2
M.S.가 0.2

, 0.3
, 0.3

가
가

가

100 2가 / 3가 30 200
1,000 , 200 600

100 50

60 100 100 5 40 80
 ,
 2 20

가

가

가

2가

가 1가

1

2

, 2

1

100 2,000

) , 60 , 110 가 . , 200 , (25 20 100

2 , , 50 1,000
100 , , 40 120 가 .
가 , 2 120 5% 15% 120 가
,

2 가 , , , . 1.0 5.0

가 ,
2 가 ,
2 (R') 가
2 가

. C₂ C₄ 가 , 가

1가 2가
AS - HG

HPMCAS)	.	22	26	%,	6	10
%,	10 14 %	.	4 8 %	.		33,000	, Pd
1.7 .	5% 14% ,	.	20% 26% ,	.			5%
10%	4% 18%()	HPMCAS				

BPO() AIBN(2,2'-((2-
 PAG 가) 가 , 가
 0 mg KOH/g 240 mg KOH/g 20,000 130,000
 20 % 가 가 200 240
 가 , 가 가 25%
 T
_g 가 - 10 110 가 , T_g 가 - 10 60

15% 50% , , (MEK), (%) 가
0.1% 15% , , (BTR), (p -) (PHS - BZT) () (BTC),
) (TPPT) (TPPN)

, 4 20 ,
 , 2 45 35 105 0.5 mil 2.4 mil,
 0.8 mil 2 mil(20 50)
 (, 180 (82)) (,
 (DSTF),
 , (가 /), (300 360) 1
 (DYNACHEM , 235 300 (113 150))
 , 40 psi 60 psi(0.28 0.41 MPa) 220 (105) 3 ,

3

가,

VECTRAN

3

2 3

2

1 3

3

가

180 °

2

1

3

W/cm²240 270 nm 1.1 mW/cm², 320 390 nm 5.9 mW/cm², 330 490 nm 24.0 m

5 kW HMW 201B

1.0 mil

150 mJ/cm²200 mJ/cm²,150 mJ/cm²

.25

%

5

%

C₂ C₃

가

0.2%

3%

0.5%

1.5%

(HOR¹)₃NR¹ C₂ C₀

5

, n -

0.1%

, 1%

3%

(99%)
85 (30) 가

, 1.25%

CHEMCUT 413, HOLLMULLER COMBISTEM

, " The Little One"

5 psi

24 psi(35 Pa)

170 Pa

10

2

CHEMCUT 547
120 (49) 10 30 psi(70 Pa) 210 Pa

80 .

6 - - 2 - p - (NMC)

가 5 (BMPC) (: 97.9%, : 124.5 126.5) 134.3 g, 3000 g
0 , BMPC 가 6 - - 2 - p - , 20 3
24 200 g 30 , pH가 6
(30 35 , < 10 torr). : 80% 85%.

1%

6 - - 2 - - p -

6 - - 2 - p - 20 g, 2,1,5 - 56.6 g,
(PM) 390 g, 165 g , , /
1000 ml 3 , 2.0 10 가 NMC
1.4 g PM 100 g 15 , 0 , 10 , 3
0 10 , (0 10) 3300 g 가
1000 g , 10 , (50)
1% : > 95% ,
NMC 2.0f 215 DNQ

1

(BORS
, BONV 80).

HPMCAS - HG() 80%

* 20%

NMC 2.0f 215 DNQ 18% BORS

4% BORS

MEK/ (75:25) % 512% BORS

* 30.3%, 2 - 12.7%, 57.0% (), 0.76 % BPO
 . η : 235.9, T_g : 60 , Mw: 24,000.

(%) 19.25

6

105 /3

0.6 mil

180 (82)

DYNACHEM 360

2.5 Ft/

60 psi

300 (149)

105 /3

HMW 201B 5kW

1.1 mW/cm² (240 270 nm)

5.9 mW/cm² (320 390 nm)

24.0 mW/cm² (330 490 nm)

() 200 mJ/cm²

Chemcut 413

(1.0%)

85 (29)

(10 psi)

(10 psi)

60

CHEMCUT 547

2 (2N HCl)

120 (49)

(30 psi)

(30 psi)

78

2

,

HPMCAS - HG 80%

1 20%

NMC 2.0f 215 DNQ 10% BORS

20% BORS

MEK265% BORS

(%) 25.3

6

105 /3

0.7 mil 0.8 mil

180 (82)

DYNACHEM Hot Roll 360

2.0 Ft/

60 psi

130 (265)

HMW 201B 5kW

1.1 mW/cm² (240 270 nm)

5.9 mW/cm² (320 390 nm)

24.0 mW/cm² (330 490 nm)

() 150 mJ/cm²

(1.0%)

85 (29)

60

g 2/2, 2/4, 2/4 mil(/)
10% 15%

3

HPMCAS - HG 80%

1 20%

NMC 2.0f 215 DNQ 10% BORS

MEK 394% BORS

(%) 21.82

8

80 /3

0.93 mil

, 1/1, 0.059, FR4

180 (82)/3

DYNACHEM Hot Roll 360

2.0 Ft/

60 psi

265 (130)

HMW 201B 5kW -

1.1 mW/cm² (240 270 nm)

5.9 mW/cm² (320 - 390 nm)

24.0 mW/cm² (330 - 490 nm)

() 150 mJ/cm²

The Little One

(2%)

(8%)

85 (29)

(15 psi)

(15 psi)

78

,

15 μm/400 μm(/)

15 μm/15 μm; 400 μm/15 μm

2.2%

0.91 mil

(/) 22.75 μm/15 μm = "1.52

4

HPMCAS - HG 80%

1 20%

NMC 2.0f 215 DNQ 10% BORS

MIBK 33% BORS

MEK 394% BORS

(%) 20.47

8

80 /2

0.9 mil

, 5 /5

, 0.002,

DYNACHEM 724()

50

4

203 (95)

HMW 201B 5kW -

1.1 mW/cm² (240 270 nm)

5.9 mW/cm² (320 390 nm)

24.0 mW/cm² (330 490 nm)

() 150 mJ/cm²

The Little One

(2%)

(8%)

(90%)

85 (29)

(15 psi)

(15 psi)

50

15 μm /400 μm (/)15 μm /15 μm ; 400 μm /15 μm

15 20%

1.2(18.0 μm /15 μm)

5

PAG 215DNQTHB

, , 4

(%) 20.47

8

80 /2

0.9 mil

, 5 /5

, 0.002,

DYNACHEM

724

50

4

203 (95)

HMW 201B 5kW -

1.1 mW/cm² (240 270 nm)5.9 mW/cm² (320 390 nm)24.0 mW/cm² (330 490 nm)

() 150 mJ/cm²

The Little One

(2%)

(8%)

85 (29)

(15 psi)

(15 psi)

50

, 4

6

HPMCAS - HG 100%

215 DNQTHB 10% BORS

12.5% BONV

680 0.22% BONV

MEK 442% BONV

(%) 22.18

8

90 (32)/2

1.0 mil

, 1/1, 0.059, FR4

180 (82)/3

300

2.0 Ft/

40 psi

235 (113)

HMW 201B 5kW -

1.1 mW/cm² (240 270 nm)

5.9 mW/cm² (320 390 nm)

24.0 mW/cm² (330 490 nm)

() 150 mJ/cm²

The Little One

(0.5%),

(99.5%)

85 (29)

(15 psi)

(15 psi)

55

,

15 μm/400 μm(/)

15 μm/15 μm; 400 μm/15 μm

20%

18.0 μm/15 μm = "1.2

7

HPMCAS - HG

100%

215 DNQTHB 10% BORS

(BTR) 2.4% BONV

680 0.22% BONV

MEK 437% BONV

(%) 20.55

8

80 /10

0.9 mil

, 1/1, 0.059, FR4

300

2.0 Ft/ (-)

40 psi

235 (113)

HMW 201B 5kW -

1.1 mW/cm² (240 270 nm)

5.9 mW/cm² (320 390 nm)

24.0 mW/cm² (330 490 nm)

() 150 mJ/cm²

The Little One

(0.5%), (99.5%)

75 (24)

(15 psi)

(15 psi)

240

,

5 μm /400 μm (/)

10 μm /10 μm ; 400 μm /10 μm

< 2%

22.5 μm /10 μm = "2.25

8

HPMCAS - HG 100%

215 DNQTHB 10% BORS

680 0.22% BONV

MEK 443% BONV

(%) 19.91

, 5 /5

, 0.002,

8

80 /5

1.0 mil

HMW 201B 5kW -

1.1 mW/cm² (240 270 nm)

5.9 mW/cm² (320 390 nm)

24.0 mW/cm² (330 490 nm)

() 150 mJ/cm²

The Little One

(

)

(1.25%),

(98.75%)

85 (29)

(15 psi)

(15 psi)

48

,

5 μm /400 μm (/)

5 μm /5 μm ; 400 μm /5 μm

< 2%

22.5 μm /10 μm = "2.25

9

HPMCAS - HG 100%

215 DNQTHB 10% BORS

680 0.22% BONV

MEK 341% BONV

(%) 24.4

8

80 /5

1.0 mil

, 1/1, 0.059, FR4

300

2.0Ft/ (-)

40 psi

235 (113)

HMW 201B 5kW -

1.1 mW/cm² (240 270 nm)

5.9 mW/cm² (320 390 nm)

24.0 mW/cm² (330 490 nm)

() 150 mJ/cm²

The Little One

(1.25%),

(98.75%)

85 (29)

(15 psi)

(15 psi)

50

,

5 μm/400 μm(/)

5 μm/5 μm; 400 μm/5 μm

< 2%

22.5 μm/10 μm = "2.25

, , , ,

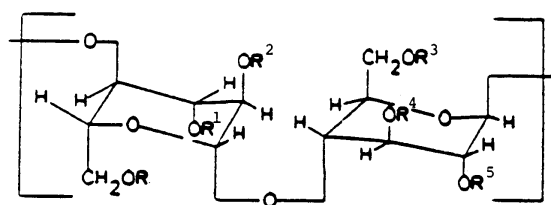
(57)

1.

(a) 1 , (b) 0 % 25

(positive acting photoresist composition):

1



R' , $R, R^1, R^2, R^3, R^4, R^5$ R'' , m C_1 C_4 1 2 m 1 R'' , m 2 $-C(=O)R'(COOR'')_m[$
 R'' , $R, R^1, R^2, R^3, R^4, R^5$ R'' , $R, R^1, R^2, R^3, R^4, R^5$ R'' , $R, R^1, R^2, R^3, R^4, R^5$

2.

1 , $T_g \gamma$ - 10 110

3.

1 , (b) 0%

4.

1 , γ p -

5.

1 , γ 6 - - 2 - p -

6.

1 , m 1

7.

1 , R, R¹, R², R³, R⁴ R⁵
 C(=O)R'(COOR'')_m

8.

1 , 7f 6- - 2- p -
 (b) 0% , R, R¹, R², R³, R⁴ R⁵
 - C(=O)R'(COOR'')_m [, m 1 , R' C₂ C₃]

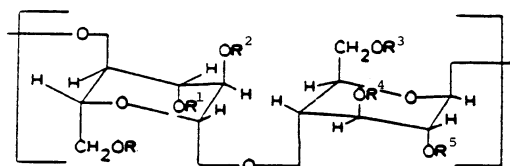
9.

1 , 7f p -
 % , R, R¹, R², R³, R⁴ R⁵
 "O)R'(COOR'')_m [, m 1 , R' C₂ C₃]

10.

(a) 1 , (b) 0 %
 25 %

1



, R, R¹, R², R³, R⁴ R⁵
 , R'
 , , , , , - C(=O)R'(COOR'')_m [, m 1 , 2 , , , R'' , , , , ,
 R'' C₁ C₄] , , , R, R¹, R², R³, R⁴ R⁵
 , - C(=O)R'(COOR'')_m , , , , .

11.

10 , T_g 7f - 10 110

12.

10 , (b) 0%

13.

10 ,

14.

10 , ဂ ပ -

15.

10 , ဂ 6 - - 2 - p -

16.

10 , R, R¹, R², R³, R⁴ R⁵
 $C(=O)R'(COOR'')_m$

17.

10 , 0% , R, R¹, R², R³, R⁴ R⁵
(b) - C(=O)R'(COOR'')_m [, m 1 , R' C₂ C₃]

18.

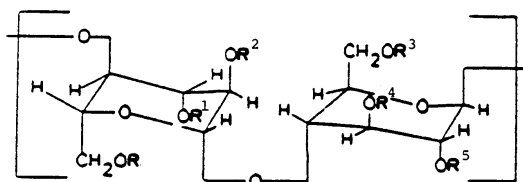
,

,

0 , (a) 1 , (b)
% 25 %

:

1



, R, R¹, R², R³, R⁴ R⁵
, R' , , , , - C(=O)R'(COOR'')_m [
, R'' , m 1 2 , m 1 R'' , , m 2
5 R'' C₁ C₄] , R, R¹, R², R³, R⁴ R⁵, R¹, R², R³, R⁴ R⁵
, - C(=O)R'(COOR'')_m .

19.

18 , T_g 가 - 10 110

20.

18 , (b) 0%

21.

18 , 가 p -

22.

18 , 가 6 - - 2 - p -

23.

18 , R, R¹, R², R³, R⁴ R⁵
C(=O)R'(COOR'')_m

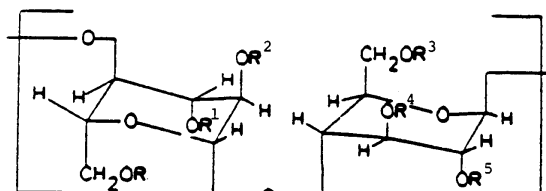
24.

18 , 가 6 - - 2 - p -
(b) 0% , R, R¹, R², R³, R⁴ R⁵
, - C(=O)R'(COOR'')_m [, m 1 , R' C₂ C₃]

25.

(a) 1 , (b) 0 %
25 %

1



, R, R¹, R², R³, R⁴ R⁵
, R', , , , , - C(=O)R'(COOR")_m [
, R", m 1 2 , m 1 R", , m 2
R" C₁ C₄] , R, R¹, R², R³, R⁴ R⁵, R, R¹, R², R³, R⁴ R⁵
- C(=O)R'(COOR")_m . , , , ,

26.

25 , T_g가 - 10 110 .

27.

25 , (b) 0% .

28.

25 , 가 p - .

29.

25 , 가 6 - - 2 - p - .

30.

25 , 가 .

31.

25 , R, R¹, R², R³, R⁴ R⁵, , , , , - C(=O)R'(COOR")_m .

32.

25 , 가 6 - - 2 - p - , , ,
(b) 0% , R, R¹, R², R³, R⁴ R⁵, , , , , - C(=O)R'(COOR")_m [, m 1 , R' C₂ C₃] .